

22 mars 2021

## géométrie torique

### §3. Variétés toriques affines.

$\mathbb{R}^n > \sigma$  cône convexe polyédral, rationnel, ne contenant pas de droite.  
 $\mathbb{R} > \sigma^\circ$  cône polaire ( $\sigma^\circ = \{y \mid \langle x, y \rangle \leq 0 \quad \forall x \in \sigma\}$ )

$\mathbb{Z}^n > S_\sigma = \sigma^\circ \cap \mathbb{Z}^n$  monoi de  $\mathbb{Z}^n$   
 $X_\sigma = \text{Spec}(k^{(S_\sigma)})$  - variété torique de tore  $G_m^n$

$$T = \text{Spec}(k^{(\mathbb{Z}^n)}) = k^{(\mathbb{Z}^n)} = k[T_1^{\pm 1}, \dots, T_n^{\pm 1}]$$

Lemme de Gordan:  $S_\sigma$  est un monoi de type fini  
que  $S_\sigma = \langle m_1, \dots, m_n \rangle$   
 $= \{ n_1 m_1 + \dots + n_n m_n, n_j \geq 0 \}$

$$T = D(T^{m_1 + \dots + m_n}) \subset X_\sigma$$

ouvert dense.

$$k^{(S_\sigma)} \subset k^{(\mathbb{Z}^n)}$$

$k$  algèbre de type fini intègre.

Remarque Variante « sans coordonnées »

$N \simeq \mathbb{Z}^n$  gr abélien libre de rang fini       $N \subset N_{\mathbb{R}} = N \otimes_{\mathbb{Z}} \mathbb{R} \simeq \mathbb{R}^n$   
 $\sigma \subset N_{\mathbb{R}}$  cône convexe polyédral, rationnel

$\sigma^\circ \subset M_{\mathbb{R}}$  cône polaire  
or       $M = N^\vee$  dual de  $N$ ,  $M \simeq \mathbb{Z}^n$   
 $M_{\mathbb{R}} = M \otimes_{\mathbb{Z}} \mathbb{R} \simeq \mathbb{R}^n$ .  
 $N_{\mathbb{R}}^\vee$

$$S_\sigma = \sigma^\circ \cap M \subset M$$

$$\mathbb{A}^{(S_\sigma)} \subset \mathbb{A}^{(M)}$$

$$\text{Spec}(\mathbb{A}^{(S_\sigma)}) \rightarrow T^- = \text{Spec}(\mathbb{A}^{(M)})$$

Tore de groupe de caractères égal à  $M$   
 $N \hookrightarrow$  cocaractères de  $T$ .

## Description fonctionnelle

R  $\kappa$ -algèbre  
 points  $\Sigma X_\sigma(R) \supset T(R)$

$$\begin{array}{c} \text{Hom}_{R\text{-Alg}}(k^{(\Sigma_\sigma)}, R) \\ \text{Hom}_{\text{Monoids}}(S_\sigma, (R, \times)) \\ \cup \\ \text{Hom}_{\text{Monoids}}(S_\sigma, R^\times) \end{array}$$

$$\begin{array}{c} \text{Hom}_{R\text{-Alg}}(k^{(M)}, R) \\ \text{Hom}_{\text{Monoids}}(M, (R, \times)) \\ \text{Hom}_{\text{groups}}(M, R^\times) \\ \text{car } \langle S_\sigma \rangle = M \\ S_\sigma - S_\sigma = M \\ \text{si le core } \sigma \text{ ne contient pas de droite} \\ (\text{hypothèse que cela fait systématiquement}) \end{array}$$

Action de  $T(R)$  sur  $X_\sigma(R)$

$$\begin{array}{ccc} \varphi: S_\sigma \rightarrow R & , & \tau: S_\sigma \rightarrow R^\times \\ x \in X_\sigma(R) & & t \in T(R) \end{array} \rightsquigarrow s \mapsto \varphi(s) \tau(s)$$

correspond à  $t \cdot x \in X_\sigma(R)$

Cette description montre qu'on peut définir un point de  $X_\sigma$  à valeurs non seulement dans une  $k$ -algèbre  $R$ , mais dans un monoïde  $\Delta$

$$X_\sigma([0,1])$$

multiplicatif

$$\cup$$

$$T([0,1])$$

$$S_\sigma \rightarrow [0,1]$$

/

$$S_\sigma \rightarrow \{1\}$$

$$X_\sigma(R_+)$$

$$S_\sigma \rightarrow R_+$$

$$\frac{\cup}{T}(R_+)$$

$$S_\sigma \rightarrow R_+^*$$

Exemples

→ Cox - Little - Schenck  
référence la plus récente et la plus détaillée.

Fulton, Toric varieties  
Oda, -

(titres similaires)

(Attention aux conventions de signe,  $\sigma^\circ = -\sigma^\vee \dots$ )

a)  $0 \leq r \leq n$

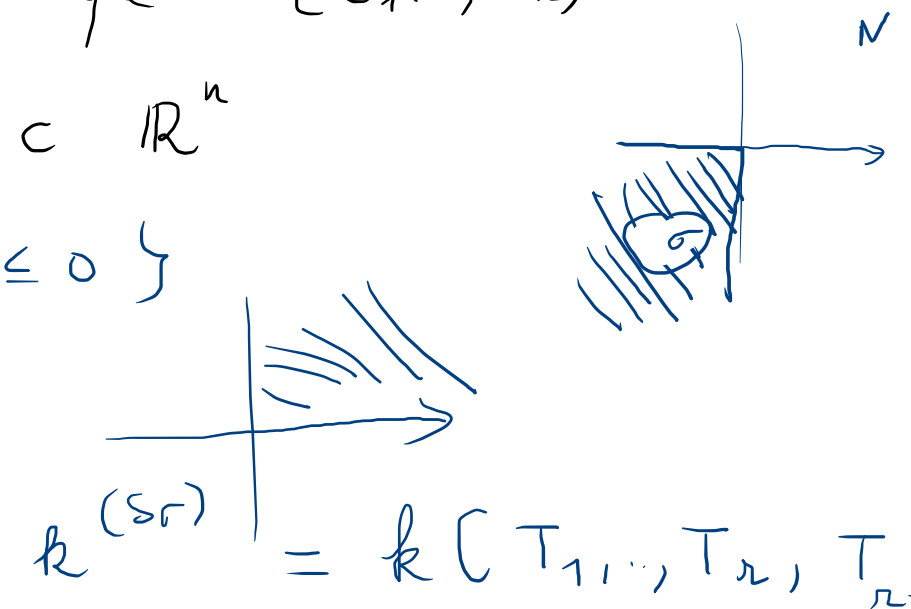
$\mathbb{Z}^n$  base canonique  $(e_1, \dots, e_n)$

$$\sigma = \text{cone}(-e_1, -e_2, \dots, -e_r) \subset \mathbb{R}^n$$

$$\sigma^\circ = \{ (y_1, \dots, y_r) \mid -y_1, \dots, -y_r \leq 0 \}$$

$$= \mathbb{R}_+^r \times \mathbb{R}^{n-r}$$

$$S_\sigma = \sigma^\circ \cap \mathbb{Z}^n = \mathbb{N}^r \times \underline{\mathbb{Z}}^{n-r}$$



$$k^{(S_\sigma)} = k[T_1, \dots, T_r, T_{r+1}^{\pm 1}, \dots, T_n^{\pm 1}]$$

$$X_\sigma = \mathbb{A}_{\mathbb{Z}}^n \times \mathbb{G}_{m, k}^{n-r}$$

Si  $R$  est une  $k$ -algèbre,

$$X_{\sigma}(R) = \{ (x_1, \dots, x_n) \in R^n \mid x_{r+1}, \dots, x_n \in R^{\times} \} \cong R^r \times (R^{\times})^{n-r}$$

$$\cup$$

$$T(R) = (R^{\times})^n$$

Cas similaire — par changement de base — lorsque  $\sigma$  est engendré par une partie d'une base de  $N$ .

on trouve

$$X_{\sigma} \cong A^r \times (\Delta_m)^{n-r},$$

$$r = \dim(\sigma).$$

b)

$$\boxed{n=2}$$

$$d \geq 1$$

$$\Gamma = \text{cone}(-e_2, e_2 - de_1)$$

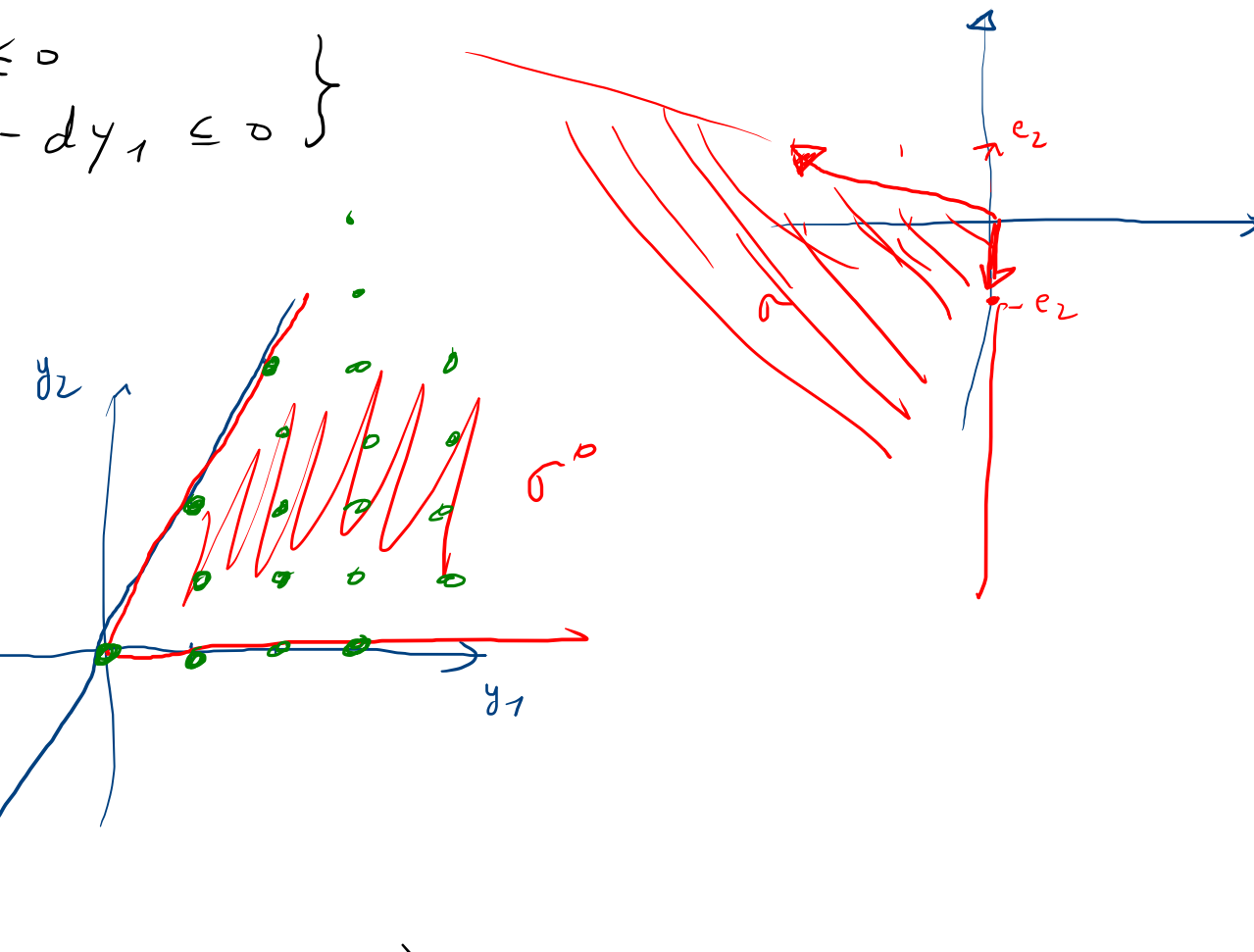
$$\begin{aligned}\sigma^\circ &= \{(y_1, y_2) \mid \begin{cases} -y_2 \leq 0 \\ y_2 - dy_1 \leq 0 \end{cases}\} \\ &= \{0 \leq y_2 \leq dy_1\}\end{aligned}$$

$$\begin{aligned}S_\sigma &= \sigma^\circ \cap \mathbb{Z}^2 \\ &= \{0, (1,0), (1,1), (1,2), \\ &\quad (2,0), \dots, (2,4), \dots\}\end{aligned}$$

$$\sigma^\circ = \text{cone}((1,0), (1,2))$$

mais  $S_\sigma \not\models \langle (1,0), (1,2) \rangle$  ne contient pas  $(1,1)$

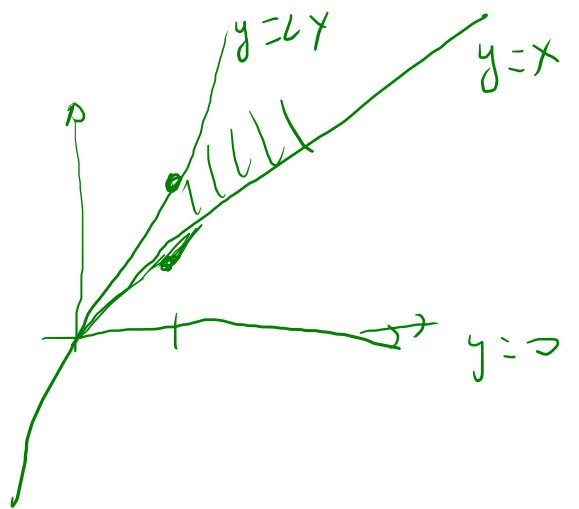
Lemme  $S_\sigma = \langle (1,0), (1,1), (1,2), \dots, (1,d) \rangle$



En effet :

$$(y_1, y_2) \in \mathbb{N}^2 \quad 0 \leq y_2 \leq \frac{d=2}{2} y_1$$

$$\begin{aligned} (y_1, y_2) &= a(1, 0) + b(1, 1) + c(1, 2) \\ a + b + c &= y_1 \\ b + 2c &= y_2 \end{aligned}$$



$$\text{si } y_2 \leq y_1 : \quad (y_1, y_2) = y_2(1, 1) + (y_1 - y_2)(1, 0)$$

$$\text{si } y_1 \leq y_2 \leq 2y_1 : \quad (y_1, y_2) = (y_2 - y_1)(1, 2) + (2y_1 - y_2)(1, 1)$$

$$\text{si } (e^{-1})y_1 \leq y_2 \leq e \cdot y_1$$

$$(y_1, y_2) \xrightarrow{\text{change of variables}} (y_2, y_2 - (e^{-1})y_1)$$

$$(y_1, y_2) = (y_2 - (e^{-1})y_1)(1, e^{-1}) + (ey_1 - y_2)(1, e^{-1})$$

L'algèbre  $k^{(S_r)}$  est plus compliquée

||

$$k[T_1, T_1 T_2, \dots, T_1 T_2^d] \subset k[T_1^{\pm 1}, T_2^{\pm 1}]$$

$$k[x_0, \dots, x_d] \xrightarrow{\varphi} k[T_1^{\pm 1}, T_2^{\pm 1}]: \text{d'image } k^{(S_r)}$$

$$x_j \mapsto T_1 T_2^j$$

correspond à  $\gamma: X_0 \hookrightarrow \mathbb{A}^{d+1}$  immersion fermée  
 idéal de l'image =  $\ker(\varphi)$

relations binomiales:  $\varphi(x_a x_b) = \varphi(x_c x_d)$   
 où  $a+b=c+d$

$$A = \left\{ \underbrace{(1,0)}_{m_0}, \dots, \underbrace{(1,d)}_{m_d} \right\} \subset \mathbb{Z}^2$$

$$T = \mathbb{G}_m^L \xrightarrow{\varphi_0} \mathbb{G}_m^{d+1}$$

$$X_0 = \overline{\varphi_0(T)} \subset \mathbb{A}^{d+1}$$

$$\cong Y_A$$

$$\begin{array}{c} \mathbb{Z}^{d+1} \xrightarrow{\psi} \mathbb{Z}^2 \\ (a_0, \dots, a_d) \mapsto \sum a_j \underbrace{(1,j)}_{m_j} \end{array}$$

$$\text{Idéal de } Y_A = \left\langle \underset{\text{ou}}{x^a - x^b}, \underset{\substack{\varphi(a) = \varphi(b) \\ a, b \geq 0}}{} \right\rangle$$

$$\text{voire } \left\langle x^a - x^b, \text{ où} \right.$$

$(a, b)$  "engendre"  
le "noyau" du morphisme  
de monoïdes

$$\varphi: \mathbb{N}^{d+1} \rightarrow \mathbb{Z}^2$$

$\varphi: S \rightarrow T$  morphisme de monoïdes  
 $K_\varphi = \{(s, s') \in S \times S \mid \varphi(s) = \varphi(s')\}$   
 sous monoïde de  $S \times S$

$$T \subset S \times S$$

on suppose que  $K_\varphi$  est le plus petit sous monoïde de  $S \times S$  qui contient

$$\Gamma' = \{(b, a) \mid (a, b) \in \Gamma\}$$

$$I(Y_A) = \{x^a - x^b \mid (a, b) \in \Gamma\}$$

$$\Delta = \{(a, a) \mid a \in S\}$$

Exercice

Déterminer plus explicitement  $\mathcal{I}(Y_\sigma)$   
cf. C-L-S, (1.2.22)

**Example 1.2.22.** Fix a positive integer  $d$  and let  $\sigma = \text{Cone}(de_1 - e_2, e_2) \subseteq \mathbb{R}^2$ . This has dual cone  $\sigma^\vee = \text{Cone}(e_1, e_1 + de_2)$ . Figure 7 on the next page shows  $\sigma^\vee$  when  $d = 4$ . The affine semigroup  $S_\sigma = \sigma^\vee \cap \mathbb{Z}^2$  is generated by the lattice points

$(1, i)$  for  $0 \leq i \leq d$ . When  $d = 4$ , these are the white dots in Figure 7. (You will prove these assertions in Exercise 1.2.8.)

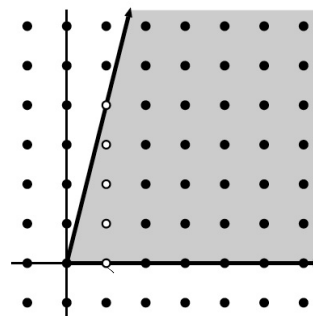


Figure 7. The cone  $\sigma^\vee$  when  $d = 4$

By §1.1, the affine toric variety  $U_\sigma$  is the Zariski closure of the image of the map  $\Phi : (\mathbb{C}^*)^2 \rightarrow \mathbb{C}^{d+1}$  defined by

$$\Phi(s, t) = (s, st, st^2, \dots, st^d).$$

This map has the same image as the map  $(s, t) \mapsto (s^d, s^{d-1}t, \dots, st^{d-1}, t^d)$  used in Example 1.1.6. Thus  $U_\sigma$  is isomorphic to the rational normal cone  $\widehat{C}_d \subseteq \mathbb{C}^{d+1}$  whose ideal is generated by the  $2 \times 2$  minors of the matrix

$$\begin{pmatrix} x_0 & x_1 & \cdots & x_{d-2} & x_{d-1} \\ x_1 & x_2 & \cdots & x_{d-1} & x_d \end{pmatrix}.$$

Note that the cones  $\sigma$  and  $\sigma^\vee$  are simplicial but not smooth.  $\diamond$

Cône lisse : engendrés par une partie  
dans  $N_R$  d'une base de  $N$

Cônes simpliciaux  
dans  $N_R$

engendrés par une partie  
d'une base de  $N_R$ .

Exercice ( cf C-L-S, 1.2.20)

$$\sigma = \text{cone } (e_1, e_2, e_1 + e_3, e_2 + e_3) \subset \mathbb{R}^3$$

cône non simplicial.  
décrire  $X_\sigma$ , un plongement de  $X_\sigma$   
dans un espace affine associé à des générateurs  
de  $S_\sigma$ , et l'idéal correspondant.

## Fonctorialité

$N, N'$   
 $v: N \rightarrow N'$  gr. ab. libre de rang fini  
 morph. de groupes

duaux  $M, M'$   
 transp:  $u: M' \rightarrow M$

tores  $T, T'$  de cocaractères  $N, N'$   
 $\varphi: T \rightarrow T'$  caractères  $M, M'$   
 $(\varphi_* = v, \varphi^* = u)$

$\sigma \subset N_R$ , cône convexe polyédraux rationaux.  
 $\sigma' \subset N'_R$  (sans dual)

$$\begin{array}{ccc} X_\sigma & \xrightarrow{\quad f \quad} & X_{\sigma'} \\ \cup & & \cup \\ T & \xrightarrow{\quad \varphi \quad} & T' \end{array}$$

$\varphi$  se prolonge en un morphisme  $f: X_\sigma \rightarrow X_{\sigma'}$

$v_R(\sigma) \subset \sigma'$   
 (Il y a alors un unique prolongement).

Preuve

$$S_\sigma = \sigma^\circ \cap M \subset M$$

$$S_{\sigma^-} = \sigma'^\circ \cap M'$$

$$\begin{array}{l} u : M^- \rightarrow M \\ v : N \rightarrow N^- \end{array}$$

$$\begin{array}{l} f^* : k^{(S_\sigma)} \rightarrow k^{(S_{\sigma^-})} \\ f : X_\sigma \rightarrow X_{\sigma^-} \end{array}$$

Si  $\boxed{v(\sigma) \subset \sigma'}$ :

$$\begin{array}{c} k^{(M')} \xrightarrow{u} k^{(M)} \\ u : M' \rightarrow M \end{array} \quad T \xrightarrow{u(m)} T^{u(m)}$$

on vérifie que si  $m \in S_{\sigma^-}$ , alors  $u(m) \in S_\sigma$

$$m \in M \cap \sigma'^\circ$$

$$u(m) \in M$$

$$u(m) \in \sigma^\circ$$

d'où  $k^{(S_{\sigma^-})} \rightarrow k^{(S_\sigma)}$   
induit par  $u$

$$\begin{aligned} n \in \sigma & \quad \langle u(m), n \rangle \leq 0 ? \\ \text{Or } \langle u(m), n \rangle & = \langle m, v(n) \rangle \leq 0 \\ \text{car } & \left. \begin{array}{l} v(n) \in \sigma' \\ m \in \sigma'^\circ \end{array} \right\} \end{aligned}$$

$$u(m) \in S_\sigma$$

Reste à voir que cette condition est nécessaire - et  
et l'unicité du prolongement.

soit  $f: X_\sigma \rightarrow X_{\sigma'}$

$$\begin{array}{ccc} U & & U \\ T & \xrightarrow{\varphi} & T' \end{array}$$

$$\begin{array}{ccc} k^{(S_\sigma)} & \xleftarrow{f^*} & k^{(S_{\sigma'})} \\ \downarrow & & \downarrow \\ k^{(M)} & \xleftarrow{\varphi^*} & k^{(M')} \end{array}$$

soit  $m \in S_{\sigma'} = M' \cap \sigma'^o$

$$\begin{aligned} \sum_{p \in S_\sigma} c_p T^p &= f^*(T^m) \in \mathcal{O}(X_\sigma) \\ \sum_{p \in S_\sigma} c_p T^p &= f^*(T^m) \Big|_T = \varphi^*(T^m) = T^{u(m)} \\ \text{donc } & f^*(T^m) = T^{u(m)} \quad \text{necessarily} \end{aligned}$$

En particulier  $u(m) \in S_\sigma$

$u(S_{\sigma'}) \subset S_\sigma$

échancré du prolongement

Existence - équivalente à  $u(S_{\sigma^-}) \subset S_{\sigma}$ .

-  $u(\sigma'^0) \subset \sigma^0$   
car |  $\sigma'^0$  et  $\sigma^0$  sont engendrés par des vecteurs entiers  
 $u(M^-) \subset M$ .

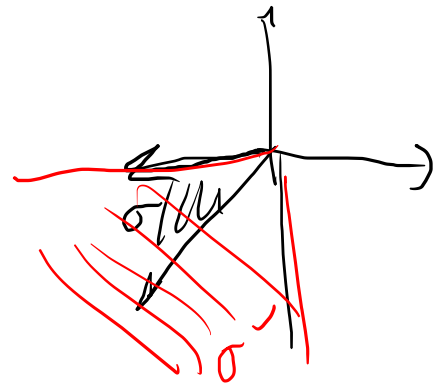
- équivalente à  $v(\sigma) \subset \sigma'$   
par dualité,  
 $u(\sigma'^0) \subset \sigma^0$

$$u(\sigma'^0) \subset \sigma^0 \Leftrightarrow v(\sigma) \subset \sigma'$$

( $\Leftarrow$ )  $y \in \sigma'^0$ ,  $xc \in \sigma$   $\langle xc, u(y) \rangle = \langle v(x), y \rangle \leq 0$  ✓

( $\Rightarrow$ ) on a  $v(\sigma^{00}) \subset \sigma'^{00}$  par le même argument  
et  $\sigma^{00} = \sigma$ ,  $\sigma'^{00} = \sigma'$  | par dualité des cones.

Exercice



$$\sigma = \text{cone}((-1, 0), (-1, -1)) \quad \text{cône lisse}$$

$$\tilde{\sigma} = \text{cone}((-1, 0), (0, -1))$$

$$\sigma \subset \sigma' \quad \mathbb{G}_m^2 \subset X_\sigma \subset X_{\sigma'}$$

$$\begin{array}{ccc} & & \| \\ & & f \searrow \\ & & \mathbb{A}^2 \end{array}$$

$$\mathbb{G}_m^2 \subset X_\sigma \simeq \mathbb{A}^2 \text{ décrite } f.$$

$$\begin{array}{ccc} \| & & \\ & \downarrow f & \swarrow \tilde{f} \\ \mathbb{G}_m^2 & \subset & \mathbb{A}^2 \end{array}$$

$$\text{En fait } X_\sigma \simeq \mathbb{A}^2 \quad (\text{pas parfait !})$$

$$\text{écrire } \tilde{f} \quad \text{on trouve } \tilde{f}(u, v) = (u, uv)$$

on quelque chose d'approchant-

Une injection de cônes  
ne correspond pas à une injection des variétés tangentes correspondantes.

Prop. Si  $\tau$  est une face de  $\sigma$ ,  
 alors le morphisme  $X_\tau \rightarrow X_\sigma$  qui prolonge  $\text{id}_\tau$   
 est une immersion ouverte (identifie  $X_\tau$  à un ouvert de  $X_\sigma$ )

Prouve.  $\tau$  est une face de  $\sigma \Leftrightarrow$  il existe  $m \in M_{IR}$   
 tq  $\langle \cdot, m \rangle \leq^{\circ} 0$  sur  $\sigma - \tau$   
 et  $\langle \cdot, m \rangle \equiv 0$  sur  $\tau$   
 comme  $\sigma$  est rationnel, on peut trouver un tel  $m \in M$

$$\begin{aligned} m &\in \sigma^\circ & m &\in \tau^\circ \\ -m &\in \tau^\circ \end{aligned}$$

$$S_\tau = S_\sigma + N \cdot m$$

$$\begin{aligned} S_\sigma &\subset S_\tau \\ \sigma^\circ &\subset \tau^\circ \\ \tau &\subset \sigma \end{aligned}$$

$$m \in S_\tau \quad \text{donc} \quad S_\sigma + N \cdot m \subset S_\tau$$

$$X_\tau = D(T^m)$$

Autre inclusion : soit  $w \in S_{\tau} = \tau^{\circ} \cap M$

$\sigma$  est convexe polyédral rationnel,

$$\sigma = \text{cone}(x_1, \dots, x_s) > x_j \in N.$$

$$c = \sup_j |\langle x_j, w \rangle| \in N.$$

On va prouver  $w - cm \in S_{\sigma} = \sigma^{\circ} \cap M$

$$\bullet w - cm \in M \quad \text{ou car } c \in N$$

$$\therefore w - cm \in \sigma^{\circ}$$

$$\langle x_j, w - cm \rangle = \langle x_j, w \rangle - c \langle x_j, m \rangle$$

premier cas :  $\langle x_j, m \rangle \geq 1$  : alors  $\langle x_j, w \rangle - c \langle x_j, m \rangle \leq 0$   
 car  $\langle x_j, w \rangle \leq c$ .

second cas :  $\langle x_j, m \rangle = 0$   
 alors  $x_j \in \tau$  donc  $\langle x_j, w \rangle \leq 0$  car  $w \in \tau^{\circ}$   
 et  $\langle$

Dans les deux cas  $\langle x_j, cw - cm \rangle \leq 0$   
 cela prouve que  $w \in S_{\sigma} + N \cdot m$ .

Alors

$$X_\tau = \mathcal{D}(T^m) \subset X_\sigma$$

$$\bullet m \in S_\sigma \quad T^m \in \mathcal{O}(X_\sigma), \circ$$

$$\bullet m \in S_\tau \text{ et } T^m \in \mathcal{O}(X_\tau)$$

$$-m \in S_\tau \quad T^{-m} \in \mathcal{O}(X_\tau)$$

$$T^m \in \mathcal{O}(X_\tau)^\times$$

$$S_\tau = S_\sigma \oplus \begin{matrix} ? \\ - \end{matrix} N \cdot m$$

a priori,  $T^m \notin \mathcal{O}(X_\sigma)^\times$   
car  $-m \notin S_\sigma$ .  
(sinon  $\tau = \sigma$ )

(erreur de signe)

changement de signe par rapport aux notes en ligne  
peut être une coquille dans les notes.

Le sous-monoïde  $S_0$  de  $M$  est saturé

si:  $m \in M$ , et  $\exists n \geq 1$  tq  $n \cdot m \in S_0$ , alors  $m \in S_0$ .

(Parce que pour le sous-monoïde  $(0, 2, 3, \dots)$  de  $\mathbb{Z}$ )

Consequence: L'algèbre  $k^{(S_0)}$  ( $k$  w.r.t) est intégralement close

La variété  $X_r$  est normale

Inversement: si  $X$  est une variété torique affine normale,  
elle est de cette forme:

$k[T_1, \dots, T_n]$  est intégralement clos, car factoriel  
mais  $k^{(S_0)}$  n'est pas factoriel en général.

Prop.  $X_\sigma$  est lisse sur  $k$

si et seulement si  $\sigma$  est un cône lisse

( $\Leftarrow$  si déduit du calcul de  $X_{\sigma \text{ paix}}$   
 $\sigma = \text{cone}(-e_1, \dots, -e_r)$ )

$\Rightarrow$  est plus délicat.

Désingularisation des variétés toriques  
 $\hookrightarrow$  décomposition de  $\sigma$  en cônes lisses

